

格子桁の荷重分配と橋脚梁のタワミとの関係

京都大学工教 正員 米沢 博

同 上 正員 ○三上 市藏

まえがき 格子桁橋の設計計算によく使われる理論としては Homberg, Leonhardt の方法あるいは Guyon-Massonet の方法などがあるが、各主桁支点の不等沈下の荷重分配に対する影響について論じたものはあまり見当たらないようである。一方都市に架設される高速道路橋では、桁下空間を有効に使用する目的で鋼製ラーメン構造の橋脚が盛んに使用されている。このような場合、橋脚梁上に各主桁の支点が設置されるが、梁のスパンが非常に大きなものもあり、各主桁の支点は梁のタワミだけ相当量沈下することになる。これに対し実際の設計計算においては各主桁の支点は沈下しないものとして荷重の横方向分配その他を計算しているようであるが、はたしてこれで妥当であるかどうか、あるいは橋脚梁のタワミがどの程度になるまでは沈下を無視した計算が許容されるのかなどは明らかでない。

この研究は首都高速道路公団にて架設中の浅荷重格子合成桁橋に対して生じたこのよるな疑問点を解明し、橋脚梁のタワミと格子桁の荷重分配との関係を知るために、理論的計算および模型載荷実験を行なつたものである。

格点力の理論式 図-1に示すように、両端固定梁上に単純支持された5主桁、3横桁の格子桁を扱う。各格点は主桁、横桁間に反力のみ伝えてモーメントは伝えないものとする。各格点に作用する外力を P_{mn} 、主桁の分担荷重(格点力)を X_{mn} とする。ただし $m = 1 \sim 5$, $n = 1 \sim 5$ である。

計算を簡単にするため図-2に示すような4種類の対称、逆対称荷重に分けて考える。各荷重状態に対して、各主桁および横桁のそれ自身におけるついとい式と横桁における三連モーメント式とが未知格点力の数だけ得られる。三連モーメント式には横桁の格点における曲げモーメントおよび各格点のタワミが含まれているから、これをPとXで置き換えると、つぎの方程式が得られる。

(1) 荷重aの場合

$$2X_{12} + 2X_{22} + X_{32} = 2P_{12} + 2P_{22} + P_{32} \quad \dots \dots \dots (1)$$

$$2X_{13} + 2X_{23} + X_{33} = 2P_{13} + 2P_{23} + P_{33} \quad \dots \dots \dots (2)$$

$$(\beta - 8\alpha)X_{12} + \left(\frac{1}{2}\beta - \frac{11}{2}\alpha\right)X_{13} + (5 + 3\beta + 16k\alpha)X_{22} + \left(\frac{3}{2}\beta + 11k\alpha\right)X_{23} + (3 + \frac{3}{2}\beta - 8k\alpha)X_{32} + \left(\frac{3}{4}\beta - \frac{11}{2}k\alpha\right)X_{33} \\ = 5P_{22} + 3P_{32} - \beta(P_{11} + 3P_{21} + \frac{3}{2}P_{31}) \quad \dots \dots \dots (3)$$

$$\beta X_{12} + \frac{1}{2}\beta X_{13} + (6 + 4\beta - 16k\alpha)X_{22} + (2\beta - 11k\alpha)X_{23} + (5 + \frac{7}{2}\beta + 16k\alpha)X_{32} + \left(\frac{7}{4}\beta + 11k\alpha\right)X_{33} \\ = 6P_{22} + 5P_{32} - \beta(P_{11} + 4P_{21} + \frac{7}{2}P_{31}) \quad \dots \dots \dots (4)$$

$$(\beta - 11k\alpha)X_{12} + \left(\frac{1}{2}\beta - 8\alpha\right)X_{13} + (3\beta + 22k\alpha)X_{22} + (5 + \frac{3}{2}\beta + 16k\alpha)X_{23} + \left(\frac{3}{2}\beta - 11k\alpha\right)X_{32} + (3 + \frac{3}{4}\beta - 8k\alpha)X_{33} \\ = 5P_{23} + 3P_{33} - \beta(P_{11} + 3P_{21} + \frac{3}{2}P_{31}) \quad \dots \dots \dots (5)$$

$$\beta X_{12} + \frac{1}{2}\beta X_{13} + (4\beta - 22k\alpha)X_{22} + (6 + 2\beta - 16k\alpha)X_{23} + \left(\frac{7}{2}\beta + 22k\alpha\right)X_{32} + (5 + \frac{7}{4}\beta + 16k\alpha)X_{33}$$

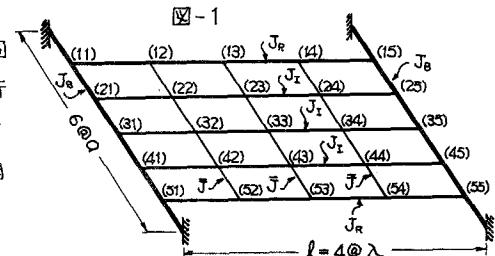


図-2

荷重a	荷重b	荷重c	荷重d
⊕ ⊕ ⊕ ⊕	⊕ ⊙ ⊕ ⊙	⊕ ⊕ ⊙ ⊙	⊕ ⊙ ⊙ ⊕
⊕ ⊕ ⊕ ⊕	⊕ ⊙ ⊕ ⊙	⊕ ⊕ ⊙ ⊙	⊕ ⊙ ⊙ ⊕

(2) 岩壘の場合

(3) 荷重Cの場合

$$\left(\frac{8}{9}\beta - 8\alpha\right)X_{12} + \left(\frac{4}{9}\beta - \frac{11}{2}\alpha\right)X_{13} + \left(2 + \frac{19}{9}\beta + 16k\alpha\right)X_{22} + \left(\frac{19}{18}\beta + 11k\alpha\right)X_{23} = 2P_{22} - \beta\left(\frac{8}{9}P_{11} + \frac{19}{9}P_{21}\right) \dots\dots\dots(12)$$

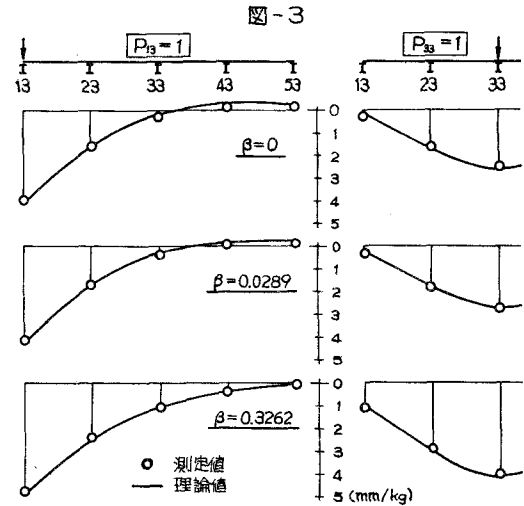
$$\left(\frac{8}{9}\beta - 11\alpha\right)X_{12} + \left(\frac{4}{9}\beta - 8\alpha\right)X_{13} + \left(\frac{19}{9}\beta + 22ka\right)X_{22} + \left(2 + \frac{19}{18}\beta + 16ka\right)X_{23} = 2P_{23} - \beta\left(\frac{8}{9}P_{11} + \frac{19}{9}P_{21}\right) \dots\dots (13)$$

(4) 荷重 d の場合

以上4種類の荷重状態に対するXを求める、それらを加え合わせれば、任意の荷重状態に対する格点力が得られる。ただし、 $\alpha = (\lambda^3 \bar{J}) / (a^3 J_R)$ 、 $\beta = \bar{J} / J_B$ 、 $k = J_R / J_L$ であり、各式において ρ を含む項は橋脚梁のタワミの影響をあらわし、 $J_B = \infty$ すなはち $\beta = 0$ とおけば主桁の支点が沈下しない場合となる。

表一

		$\beta=0$	$\beta=0.0289$	$\beta=0.3262$
$P_{13} = 1$	X_{13}	0.89725	0.89814	0.90614
	X_{23}	0.13973	0.13947	0.13748
	X_{33}	0.00492	0.00375	-0.00740
	X_{43}	-0.01803	-0.01847	-0.02216
	X_{53}	-0.02387	-0.02290	-0.01405
$P_{33} = 1$	X_{13}	0.00604	0.00811	0.02682
	X_{23}	0.17277	0.17161	0.16136
	X_{33}	0.64239	0.64056	0.62364



模型実験 理論値と比較するため 12~20 mm の丸鋸を使用して、 $l = 160 \text{ cm}$, $4a = 38 \text{ cm}$ の模型格子桁を製作し、載荷実験を行なつた。格点は主桁と横桁間で反力のみ伝えるような構造とした。各格点のタワミはダイヤルゲージと読取り望遠鏡で測定した。タワミの測定結果および理論値との比較の一例を図-3に示す。測定値は理論値とほど一致しているが、測定値の方がわずかに小さい値となつてゐる。

本研究に於ける被験者は、主に既婚女性であり、性行為の有無によっては、